

圖 3.1 液滴直徑為 $35\ \mu\text{m}$ 時的三個埋設點溫度變化

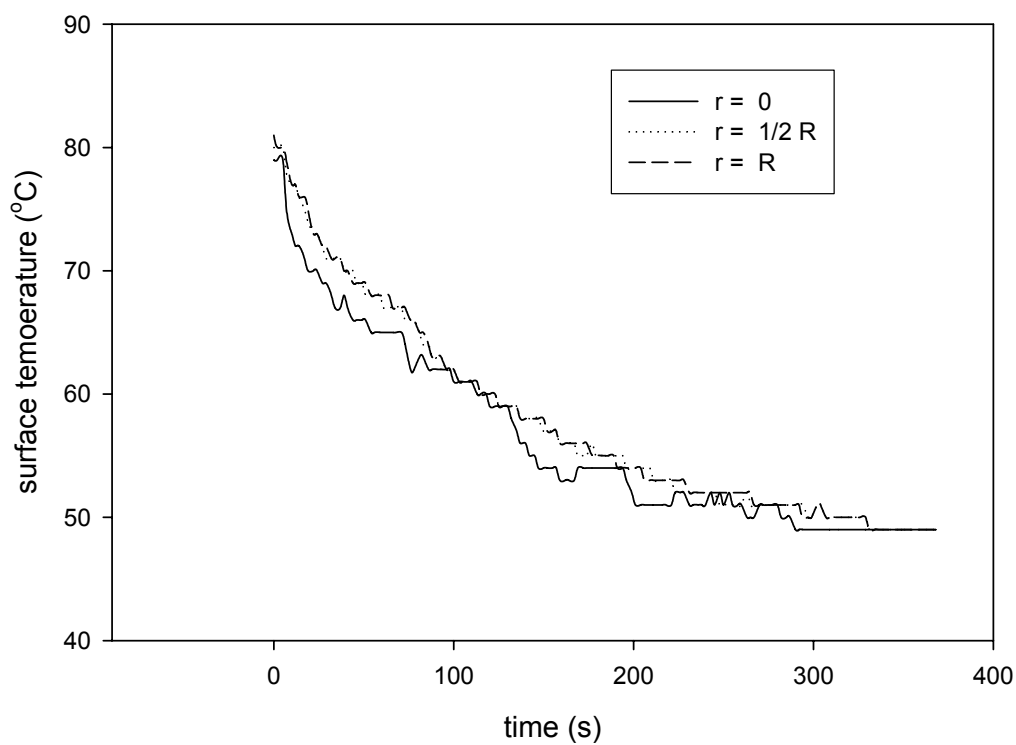


圖 3.2 液滴直徑為 $350\ \mu\text{m}$ 時的三個埋設點溫度變化

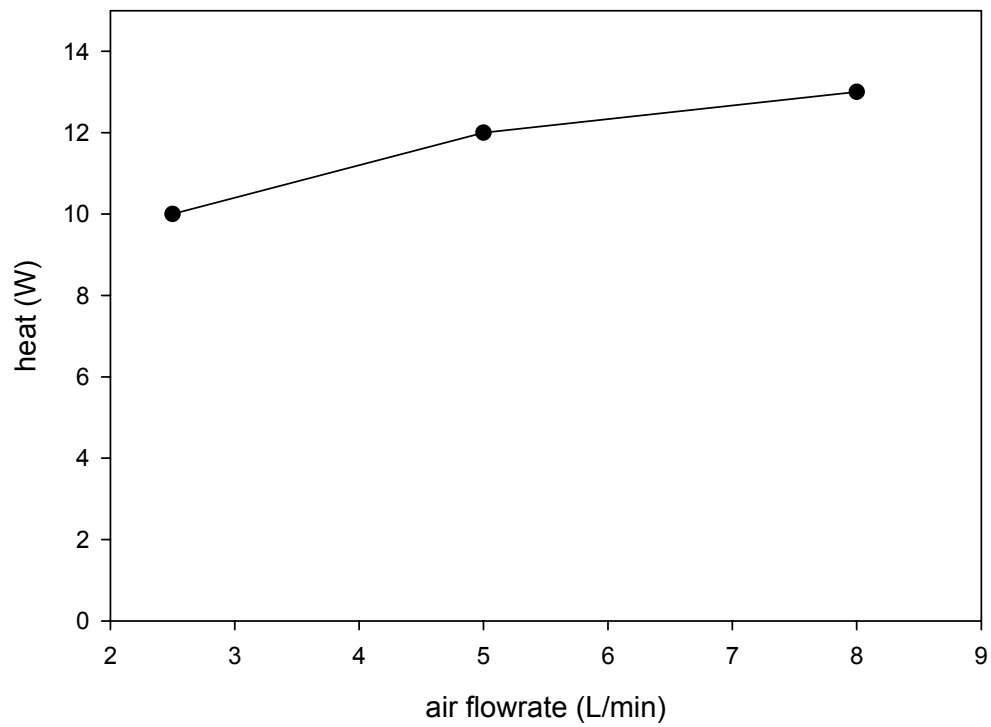


圖 3.3 空氣體積流率與散熱量關係圖

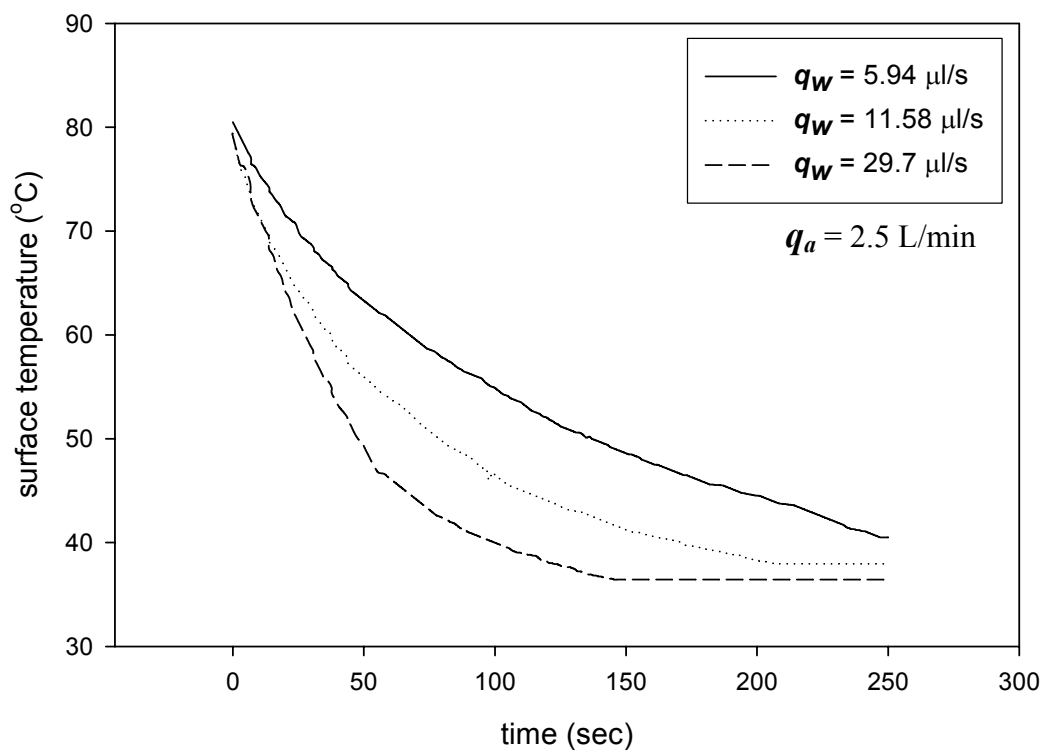


圖 3.4 液體體積流率與表面溫度變化關係圖 ($D=35 \mu\text{m}$)

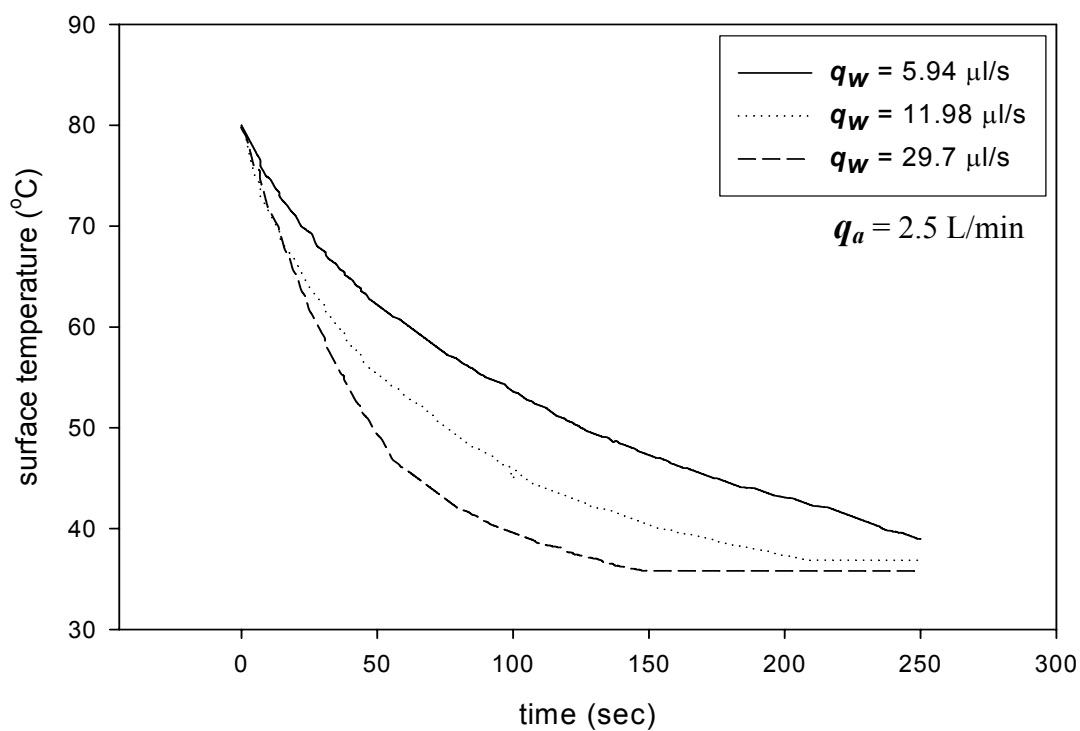


圖 3.5 液體體積流率與表面溫度變化關係圖 ($D=75\ \mu\text{m}$)

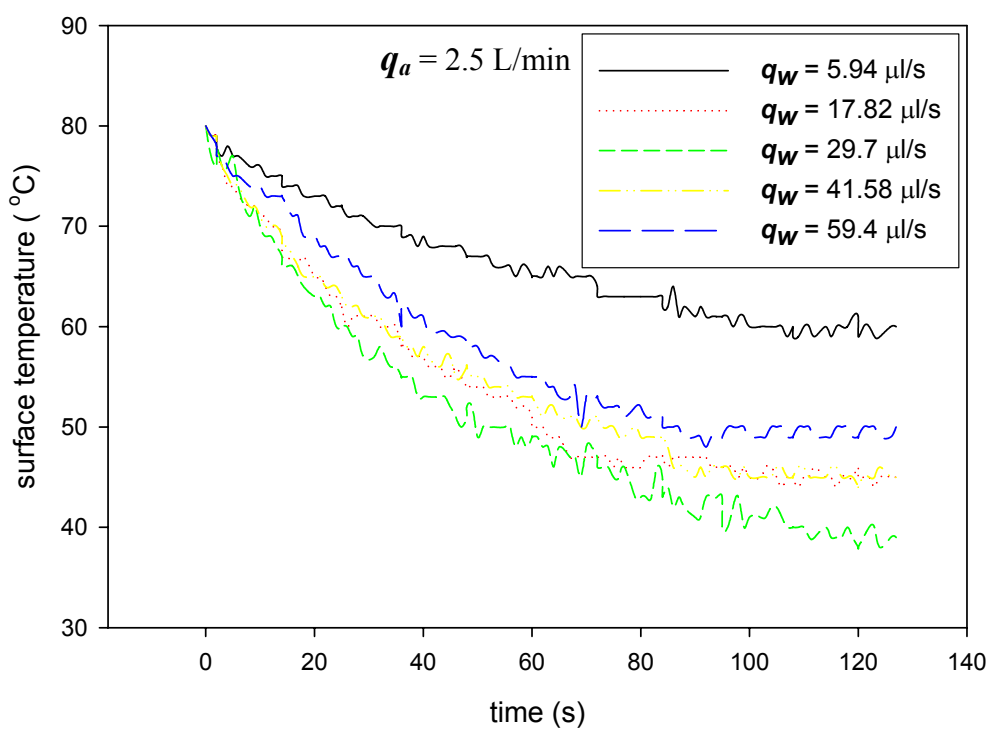


圖 3.6 液體體積流率與表面溫度變化關係圖 ($D=150\ \mu\text{m}$)

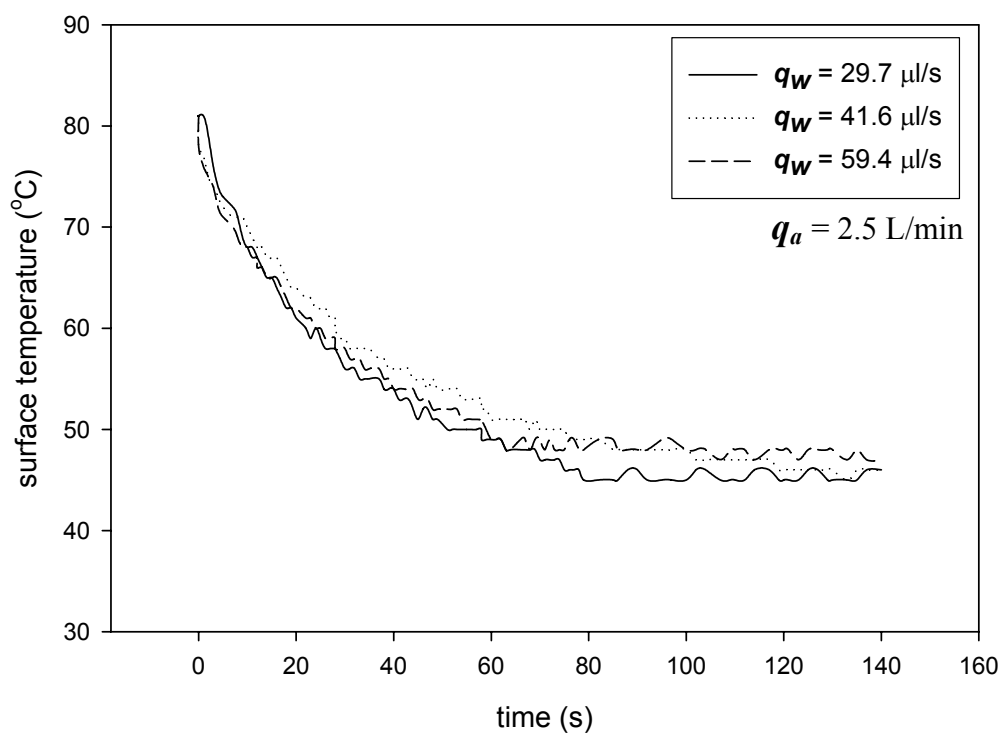


圖 3.7 液體體積流率與表面溫度變化關係圖 ($D=250 \mu\text{m}$)

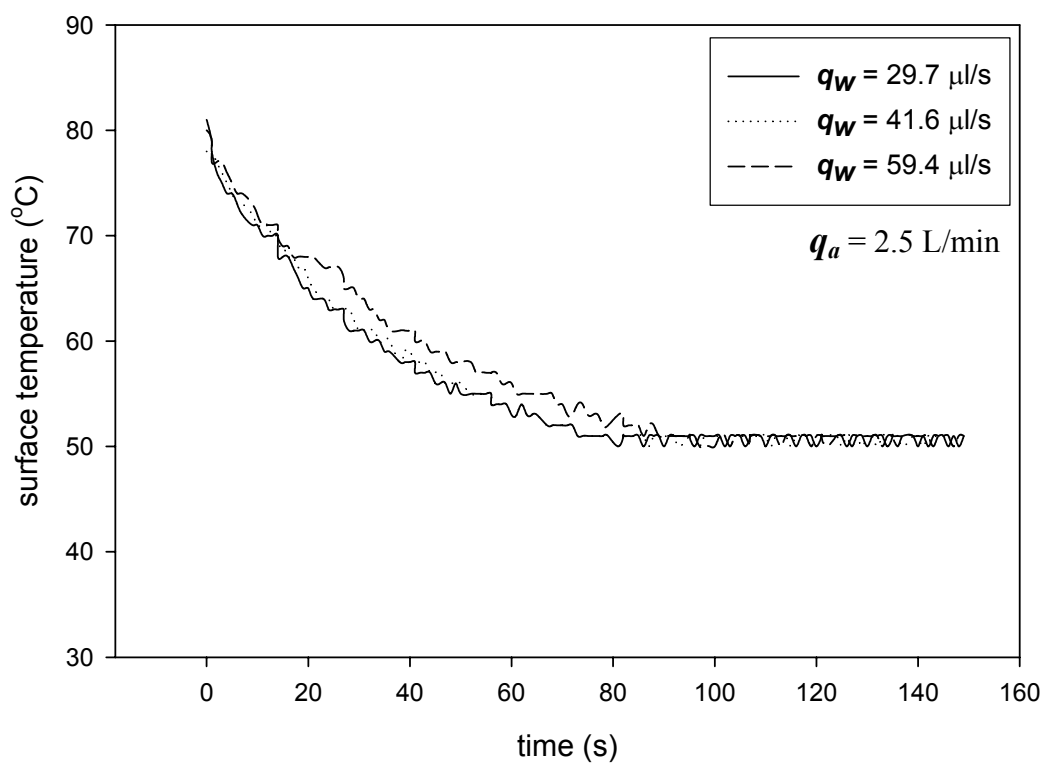


圖 3.8 液體體積流率與表面溫度變化關係圖 ($D=350\ \mu\text{m}$)

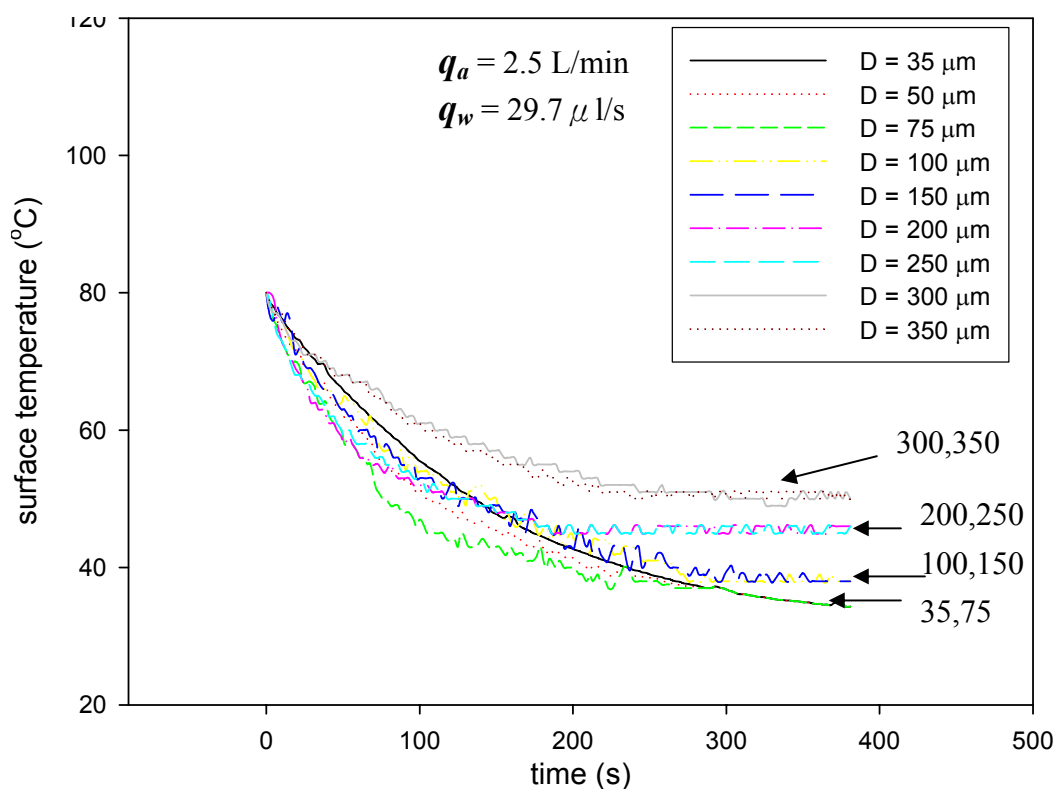


圖 3.9 噴霧直徑(D)與表面溫度變化關係圖 (熱板初溫 $T_0=80^\circ\text{C}$)

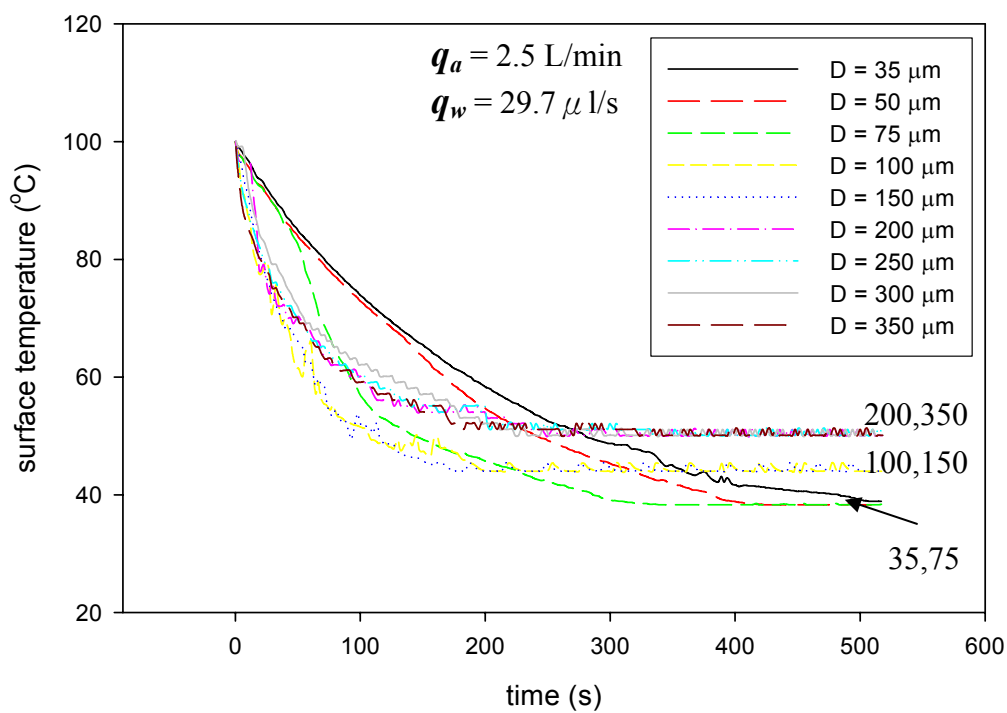


圖 3.10 噴霧直徑(D)與表面溫度變化關係圖 (熱板初溫 $T_0=100^\circ\text{C}$)

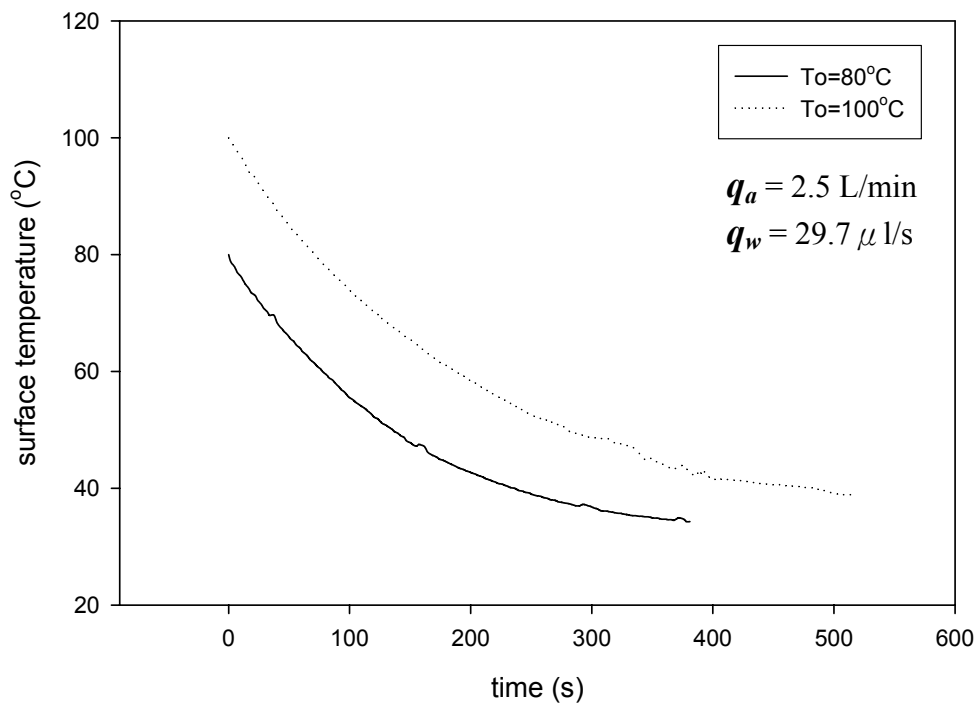


圖 3.11 不同初始溫度(T_o)之表面溫度變化關係圖 ($D=35 \mu\text{m}$)

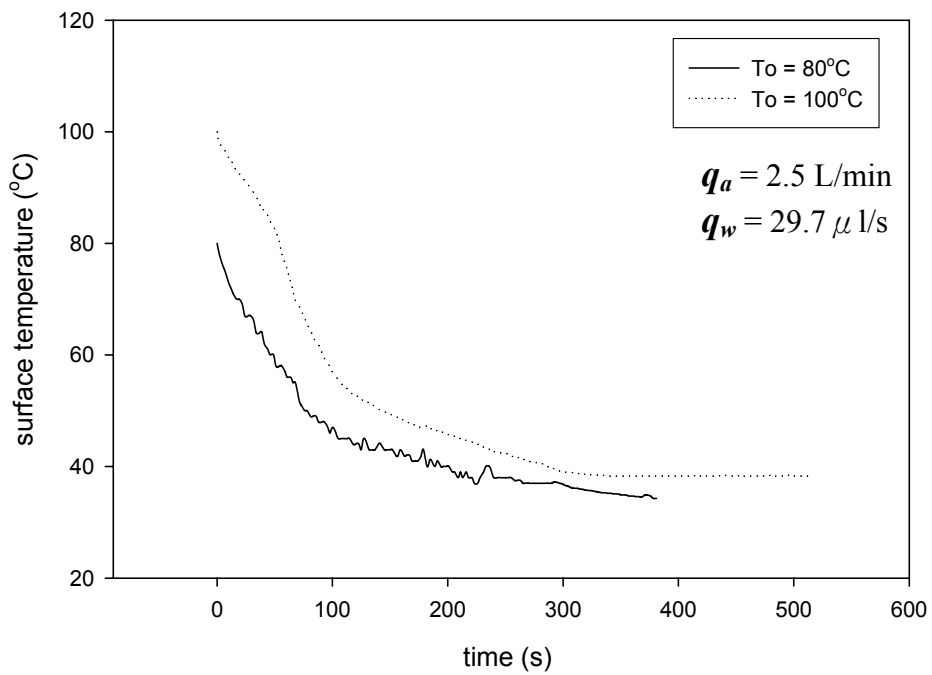


圖 3.12 不同初始溫度(T_o)之表面溫度變化關係圖 ($D=75 \mu\text{m}$)

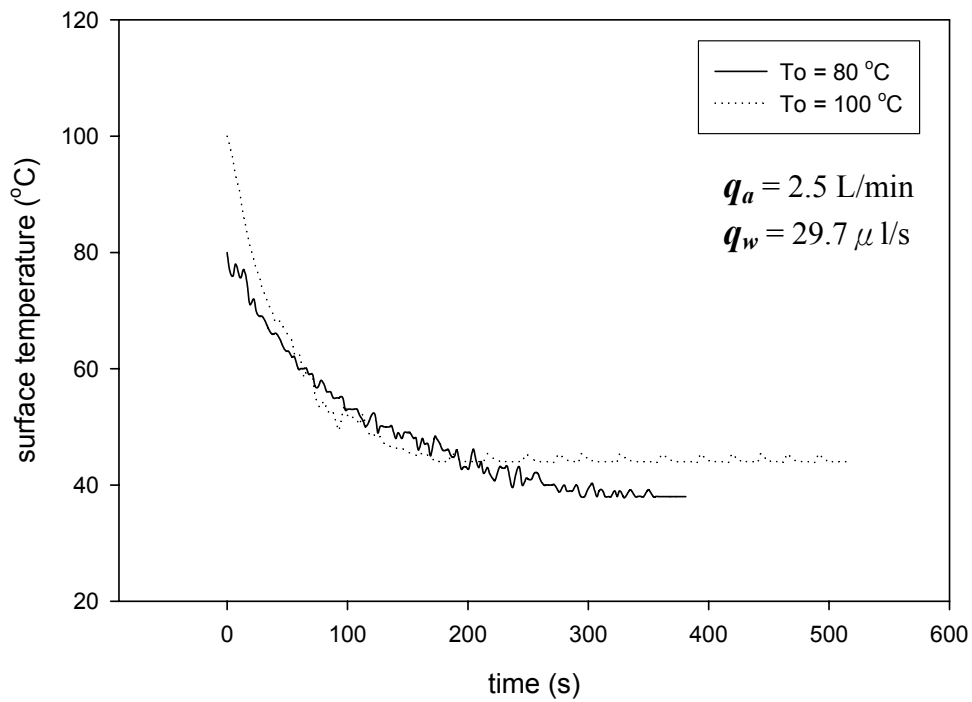


圖 3.13 不同初始溫度(T_0)之量測點降溫曲線 ($D=150 \mu\text{m}$)

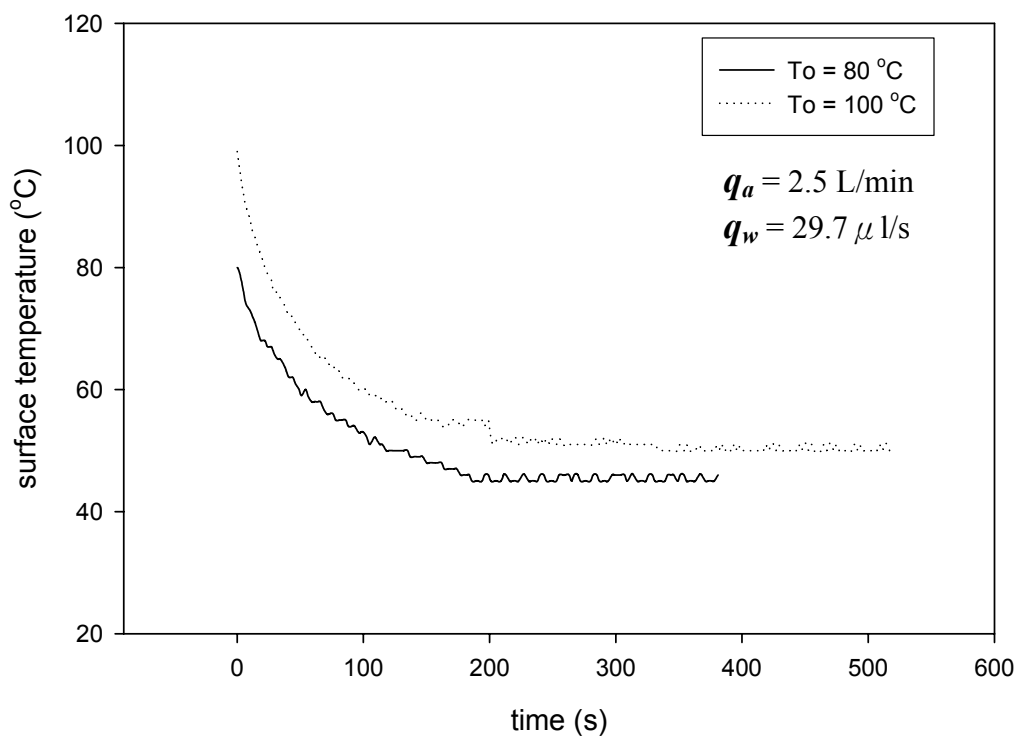


圖 3.14 不同初始溫度(T_0)之量測點降溫曲線 ($D=250 \mu\text{m}$)

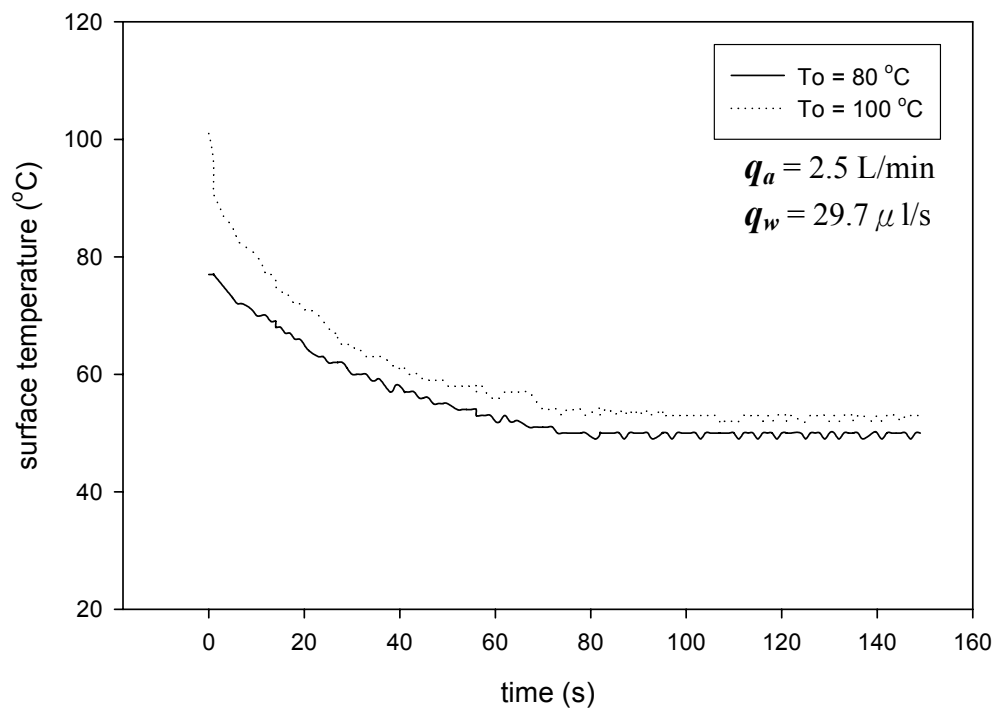


圖 3.15 不同初始溫度(T_o)之量測點降溫曲線 ($D=350\text{ }\mu\text{m}$)

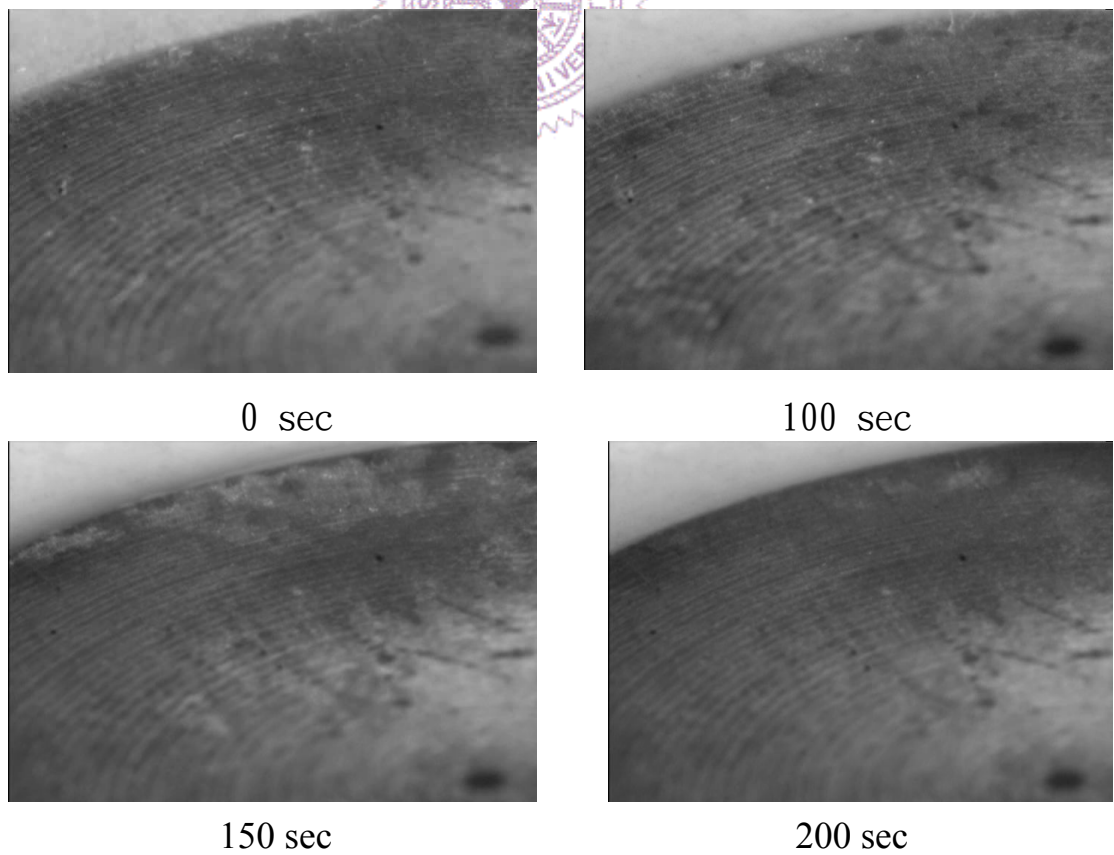


圖 3.16 液滴直徑 $50\text{ }\mu\text{m}$ 液膜形成至累積圖

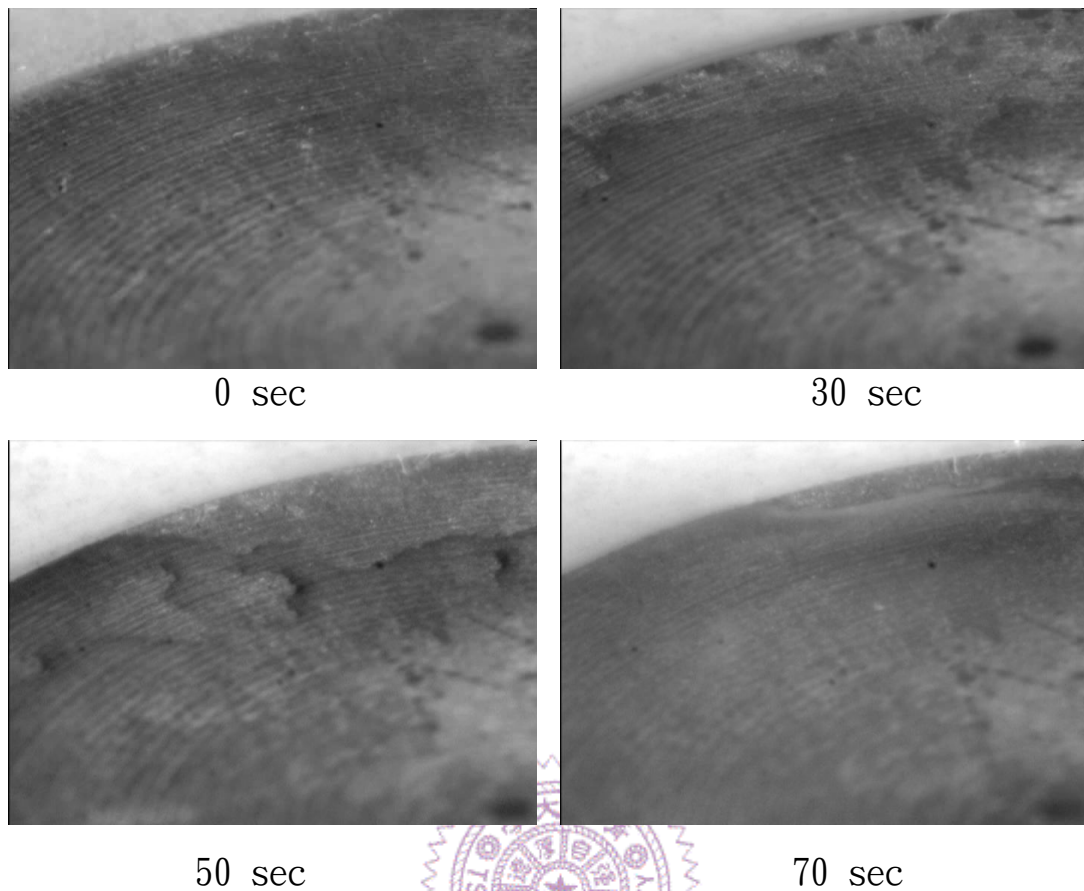


圖 3.17 液滴直徑 $150\ \mu\text{m}$ 液膜形成至累積圖

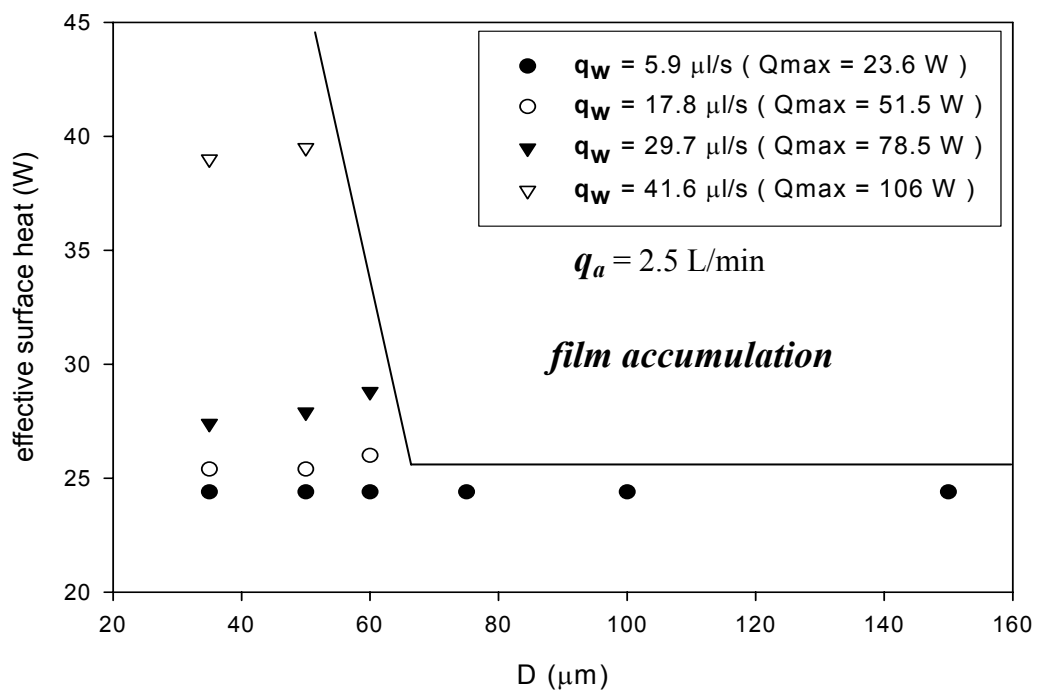


圖 3.18 不同體積流率下實驗與理論散熱量比較圖， $T_o = 80^\circ\text{C}$

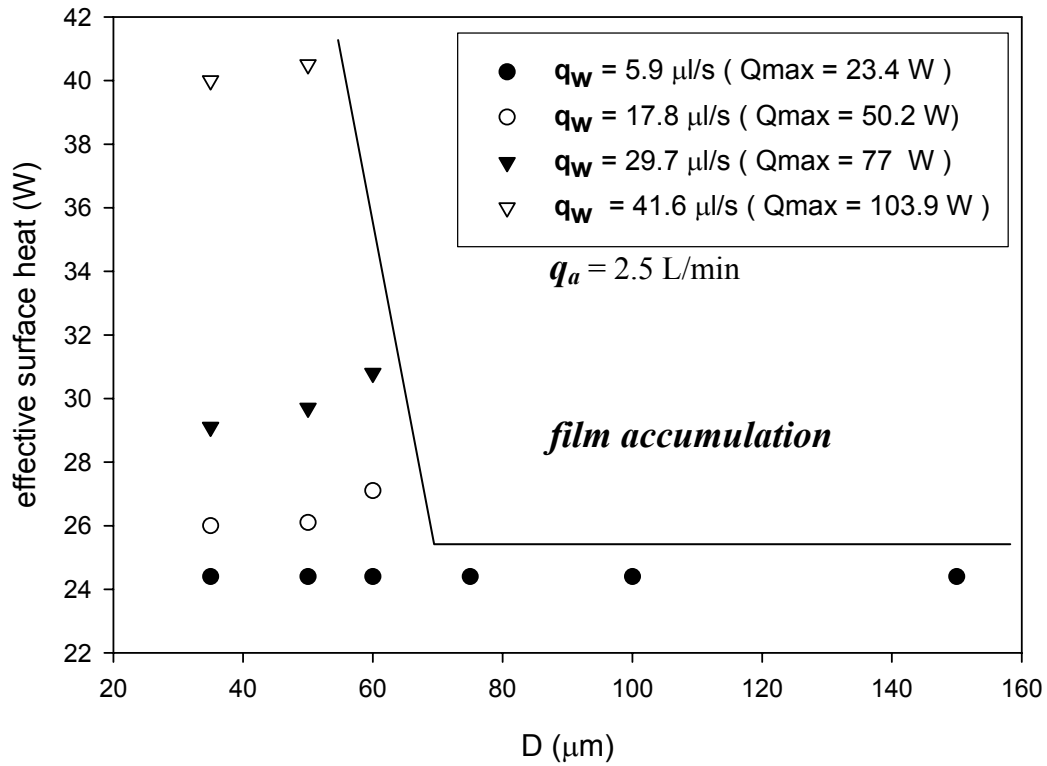


圖 3.19 不同體積流率下實驗與理論散熱量比較圖， $T_o = 100^\circ\text{C}$

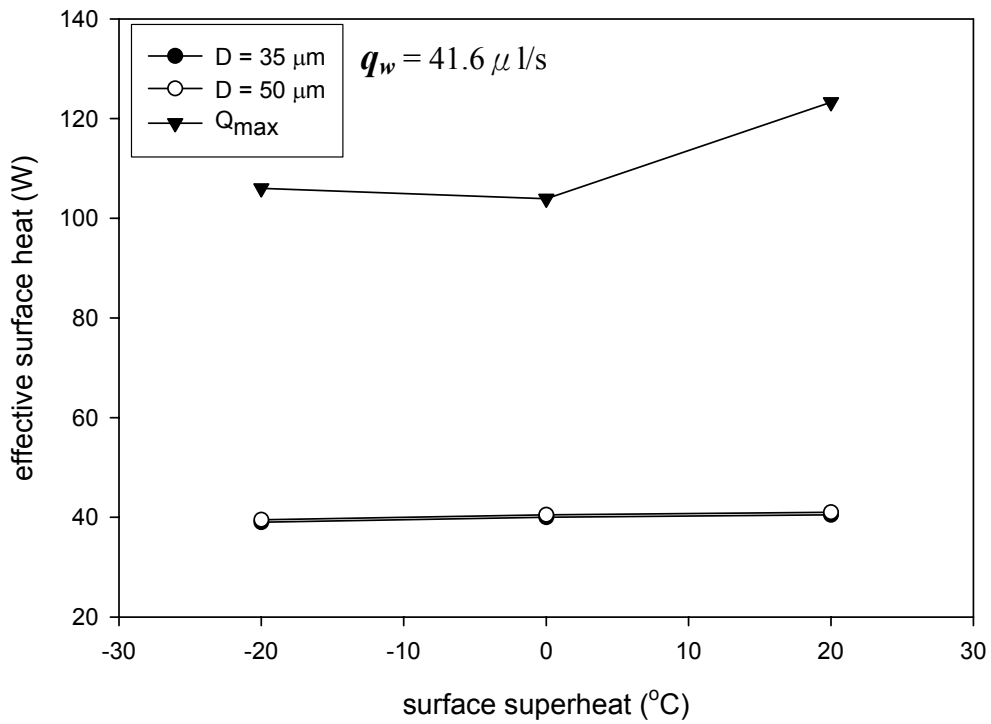


圖 3.20 不同表面溫度下實驗與理論散熱量比較圖($q_a=2.5\text{L/min}$)

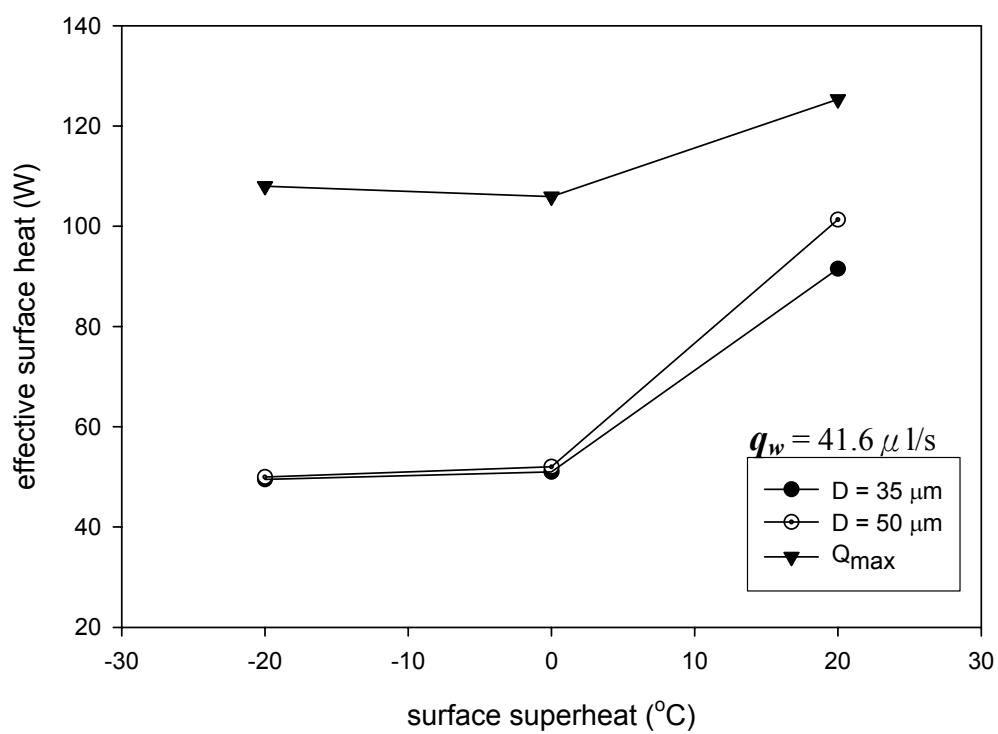


圖 3.21 不同表面溫度下實驗與理論散熱量比較圖($q_a=5\text{L/min}$)

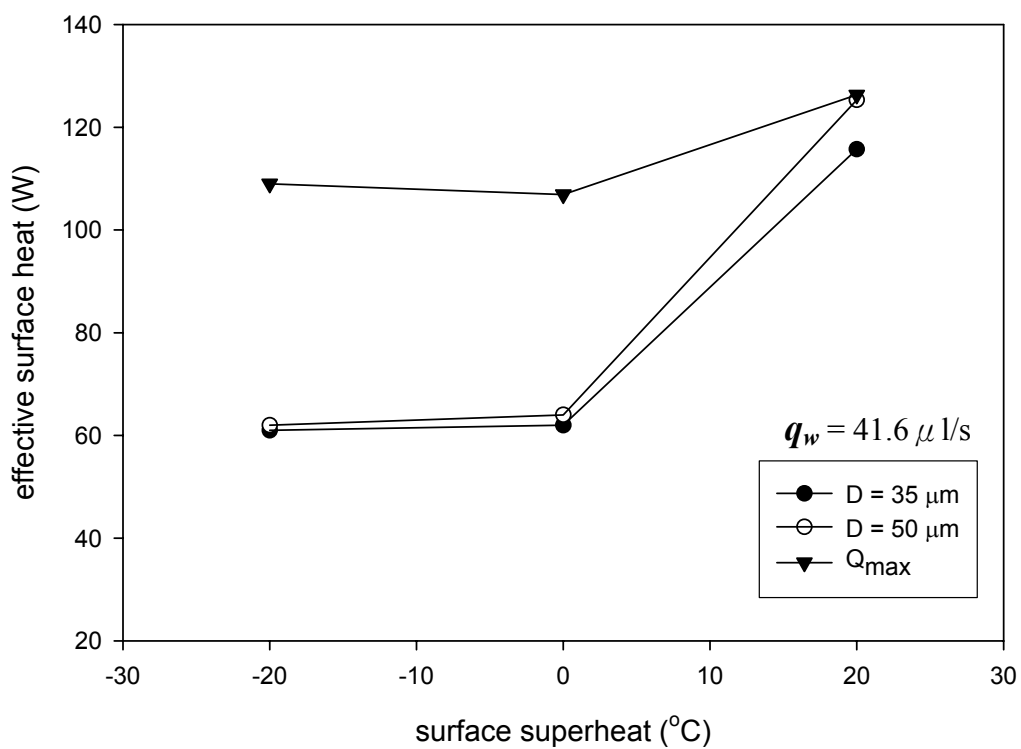


圖 3.22 不同表面溫度下實驗與理論散熱量比較圖($q_a=8\text{L/min}$)